

20568



8-22-AD-FG-200.- Calizas y margas color kaki del Hauteriviense-Barremiense basal ( $C_{w11-14}^C$ ) cerca de El Castellar. Encima, primeos niveles de arcillas rojas y de areniscas del Barremiense inferior en facies wealdiense ( $C_{w11-14}$ ).



28-22-AD-FG-201.- Los primeros niveles del Barremiense marino (Cc<sup>0-1</sup><sub>14-15</sub>) en Cedrillas: barra de calizas bioclásticas reposando sobre las arcillas rojas y areniscas del Wealdiense. En primer plano arcillas rosadas y calizas del Portlandiense



28-22-AD-FG-202. - Flanco occidental volcado del anticlinal de Cerro Gordo. A la izquierda, la depresión portlandiense ( $J_{33}$ ) (facies purbeckiense) de Monteagudo del Castillo.



28-22-AD-FG-203..- Depresión (parte occidental) en las arcillas con yesos del Keuper (TG3) rodeada por las carniolas, dolomías y calizas del Lías (J<sub>11-13</sub>). Sureste de Monteagudo.



28-22-AD-FG-204.- Idem (parte oriental). Al fondo, el vértice -  
jurásico de San Cristobal.



28-22-AD-FG-205.- "Margas con Plicáculas" ( $C_{15}^1$  m) sobre el Bedou-  
liense calcáreo. Vertiente sur de Sebo.



- 28-22-AD-FG-206. - Bedouliense superior margoso ( $C_15^1$  m) y Gargasiente inferior calcáreo ( $C_15^2$ ) (a la izquierda) en contacto - por falla con las formaciones deltaicas que pasan a marinas - del Barremiense (a la derecha), Macizo de Sebo. Al fondo, con arbolado, las calizas del Bedouliense inferior ( $C_15^1$ ).



-28-22-AD-FG-207.- Vista sobre la cadena cretácica al NE del Cas tellar (Portillo Ramiro). De la base al techo, Barremiense infe rior en facies wealdiense ( $C_{w11-14}$ ), Barremiense superior calcá reo ( $Cc_{14-15}^{0-1}$ ) replano de las "capas rojas superiores" ( $C_{14-15}^{0-1}$ ), Bedouliense inferior margocalcáreo y calcáreo ( $Cc_{15}^1$ ).



28-22-AD-FG-208. - El Barremiense superior ( $C_{14-15}^{0-1}$ ) y el Aptiense inferior calcáreo ( $C_{15}^1$ ) al Este del Castellar (Portillo Ramiro).



28-22-AD-FG-209.- Vista sobre el macizo de la Nava: Bedouliense inferior calcáreo ( $C_1^1$   
<sub>15</sub>), Bedouliense superior margoso ("Margas con Plicáculas") ( $C_1^2$   
<sub>15</sub> m) y Gargasiense inferior calcáreo ( $C_1^2$   
<sub>15</sub> G).



28-22-AD-FG-210. - Barra calcárea del Bedouliense inferior ( $C_{15}^1$ ) en las gargantas del río Alcalá. Al fondo, el macizo de la Nava (calizas con Rudistos Gargasienses ( $C_{15}^2$ ) sobre las "Margas con Plicáculas"  $C_{15}^1$  m).



28-22-AD-FG-211.- El Kimmeridgiense ( $J_{32-33}^{2-3}$ ) y el Portlandiense ( $J_{33}$ ) muy levantado sobre el flanco sur-occidental del anticlinal de Alcalá, en la entalladura del río Alcalá (orilla izquierda).



28-22-AD-FG-212. - La serie jurásica subvertical (Lías, Dogger, Kimmeridgiense) sobre el flanco sur-occidental del anticlinal de Alcalá, en la entalladura del río Alcalá (orilla derecha).



-28-22-AD-FG-213..- Las formaciones dolomíticas del Muschelkalk (T<sub>G2</sub>) en las proximidades de Alcalá de la Selva. Al fondo, el llano de la Virgen de la Vega y el complejo Cenomaniense de la Capellanía.



28-22-AD-FG-214.- Extremo meridional del anticlinal de Alcalá:  
las formaciones jurásicas muy levantadas de Pinar.



28-22-AD-FG-215.- Idem. A la izquierda, el Muschelkalk ( $T_{G2}$ ) alrededor de Alcalá; más allá, la llanura de la Virgen de la Vega; al fondo, el Cenomaníense de la Capellanía.



28-22-AD-FG-216.- Sinclinal cretácico al Oeste de Alcalá de la Selva, vista desde las formaciones jurásicas del flanco sur-occidental del Anticlinal de Alcalá.



28-22-AD-FG-217. - Vista sobre el Anticlinal de Alcalá de la Selva. En el centro, descubiertos por la erosión, terrenos jurásicos. Por ambos lados, las formaciones del Cretácico inferior.



28-22-AD-FG-218.- Idem, un poco más hacia el Norte.



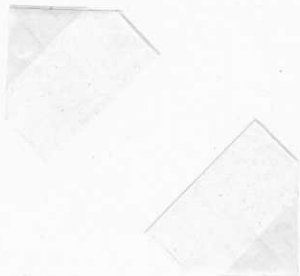
28-22-AD-FG-219..- El Barremiense en los alrededores del pueblo de Gudar. En la base, arcillas rojas y areniscas ( $C_{w11-14}$ ) (fa-  
cies wealdiense); encima, margo-calizas y calizas ( $C_g^{0-1}$ ). A -  
la izquierda, el inicio del barranco de la Rambla.  $14-15$



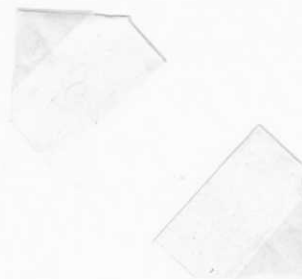
28-22-AD-FG-220.- Wealdiense (C<sub>w11-14</sub>) y Barremiense calcáreo  
(C<sub>C</sub><sup>0-1</sup>) a ambos lados del pueblo de Gúdar. En primer plano, su  
superficie estructural del Portlandiense (J<sub>33</sub>) .



28-22-AD-FG-221.- El Barremiense-Aptiense en los alrededores de Allepuz. En primer plano, serie calcáreo detrítica del Hauteriviense-Barremiense basal sobre el Portlandiense.



28-22-AD-FG-222. - El Barremiense-Aptiense ( $C_14-15^{0-1}$ ) de la región de Allepuz. El pueblo (al fondo) construido sobre el Barremiense terminal ( $C_14-15^{0-1}$ ) y los primeros niveles del Aptiense, está dominado por la barra calcárea del Bedouliense inferior ( $C_15^1$ ). La Masia de la Dehesa (en el centro) está colocada sobre la barra - caliza del Barremiense superior ( $C_14-15^{0-1}$ ). En primer plano el escarpe de la caliza del Bedouliense inferior ( $C_15^1$ ).



28-22-AD-FG-223. - Calizas del Bedouliense inferior ( $C_15^1$ ) (superficie estructural en primer plano), "Margas con Plicáculas" ( $C_15^1$ ) (Bedouliense superior) y escarpe de dolomías rosas del Gargasien-  
se inferior ( $C_15^2$ ). A lo lejos, Gargasiense superior ( $C_{15-16}^{2-1}$ ), Al-  
biense ( $C_{16}^1$ ) y primeros niveles del Vraconiense-Cenomaniense -  
( $C_{16-21}$ ) (El Morón).



28-22-AD-FG-224.- El Aptiense de la región de Allepuz (valle del río de Sollavientos). Al fondo el pueblo de Allepuz dominado por la cornisa calcárea del Bedouliense inferior (C<sub>1</sub><sup>15</sup>). A la derecha, la pendiente de margas y calizas del Bedouliense superior (C<sub>2</sub><sup>15</sup>) - ("Margas con Plicábulas").



28-22-AD-FG-225.- El Aptiense de la región de Allepuz. De izquier-  
da a derecha, el Bedouliense inferior calcáreo ( $C_C^1$ ), el Bedou-  
liense superior margo-calcáreo ( $C_m^1$ ), el Gargasiense inferior do-  
lomítico (barra de dolomías rosas)<sup>15</sup> y calcáreo ( $C_C^2$ ).



28-22-AD-FG-226..- Arcillas grises y arenas blancas del Albiense  
(C<sub>16</sub>) (facies Utrillas) al Este de Allepuz (El Morrón).



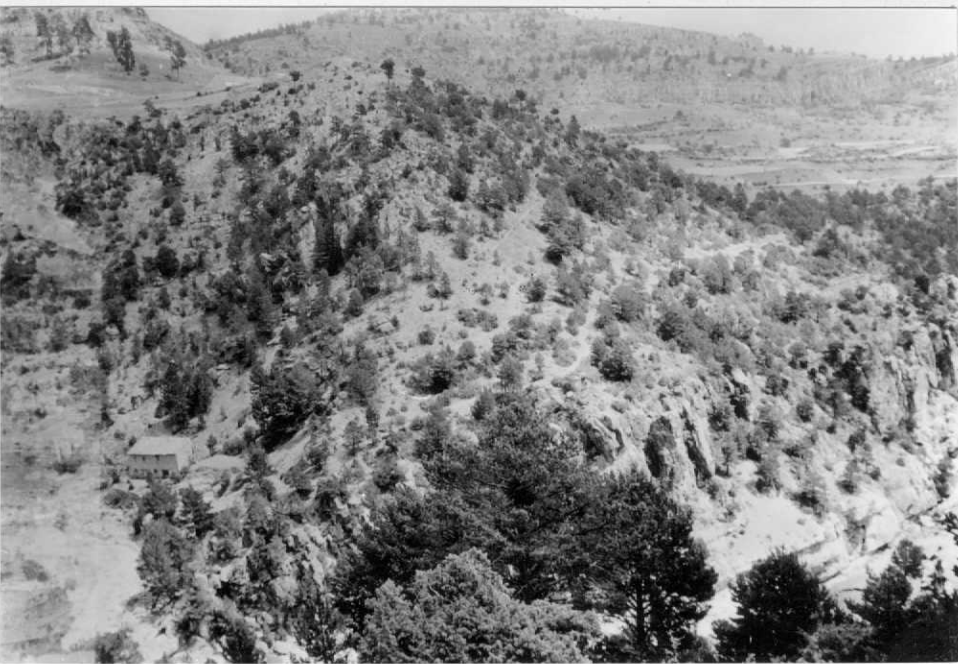
28-22-AD-FG-227.- Formación albiense en facies Utrillas ( $C_{16}$ ) so-  
portando (al fondo) las calizas del Vraconiense-Cenomaniense -  
( $C_{16-21}$ ) (El Morroñ).



-28-22-AD-FG-228. - El núcleo anticlinal de la Rambla de Mal Burgo. Solo son visibles sobre la fotografía las formaciones calcáreas del Cenomaniense ( $C_{16-21}$ ) suavemente buzantes formando un domo - muy suave.



28-22-AD-FG-229.- Las formaciones dolomíticas del Aptiense ( $C_{15}^2$ ) en las gargantas del río Linares (Mina Restauración).



28-22-AD-FG-230.- Idem, rio abajo.